

نقشه (۱)- موقعیت جغرافیایی شهرستان اهواز

از فاکتورهای مهم در تعیین وضعیت اقلیمی هر منطقه، میزان بارش نزولات جوی در آن منطقه می باشد. منظور از بارش به کلیه ای نزولات جوی که به سطح زمین وارد می شوند، از زمانی که یک قطه باران در هوا تشکیل می شود تا موقعی که به زمین می رسد، پدیده هایی رخ می دهند که بیشتر در قلمرو علم هواشناسی است اما هنگامی که به سطح زمین می رسد به عنوان اساسی ترین عنصر چرخه هیدرولوژی به حساب می آید (علیزاده، ۱۳۸۱).

#### مواد و روش ها

جهت بررسی شرایط خشکسالی منطقه مورد مطالعه، مجموع بارش ۳۷ ساله ایستگاه اهواز طی دوره آماری (۱۳۵۳-۱۳۹۰) به نمره استاندارد بارش ( $Z$ ) تبدیل شد و بر پایه آن خشکسالی ها تحلیل گردید . این شاخص از رابطه زیر بدست می آید:

$$Z = \frac{Pi - \bar{P}}{SD}$$

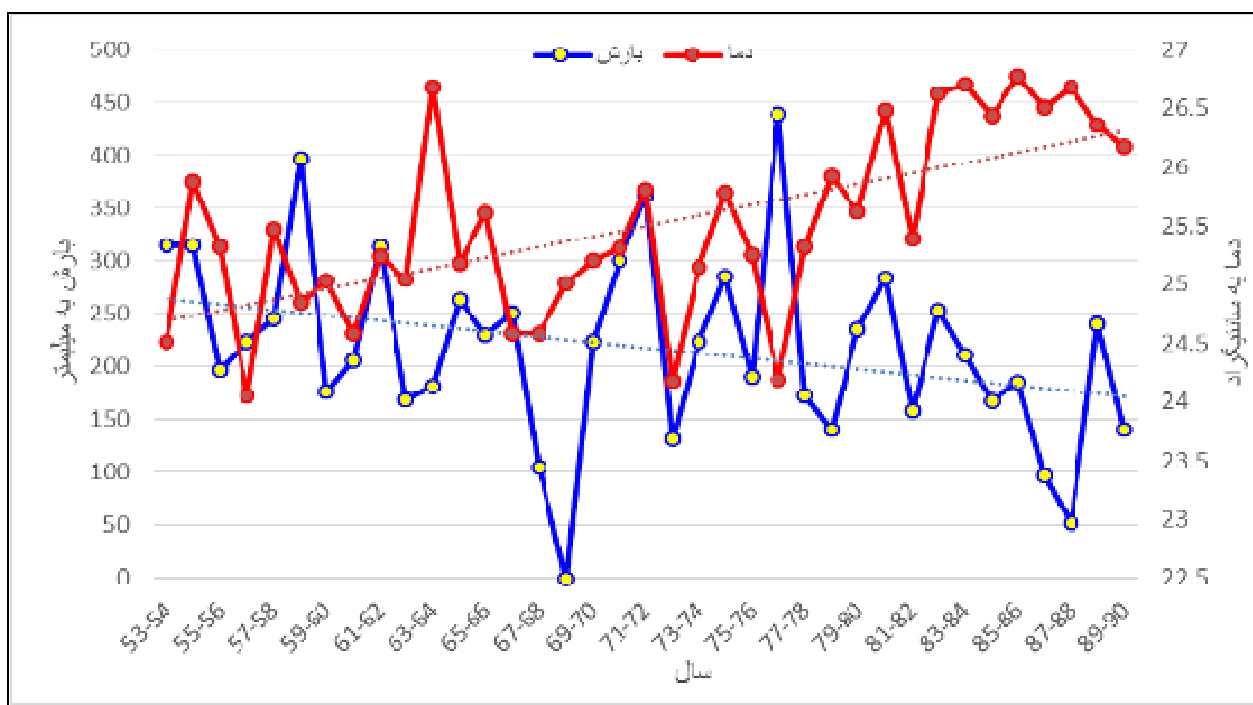
رابطه (۱):

$$\begin{aligned} Pi &: \text{بارش در زمان مشخص} \\ \bar{P} &: \text{میانگین بارش} \\ SD &: \text{انحرف معیار} \end{aligned}$$

جدول شماره ۱ توصیف کیفی خشکسالی ها و ترسالی ها بر اساس شاخص نمره استاندارد بارش ( $Z$ )

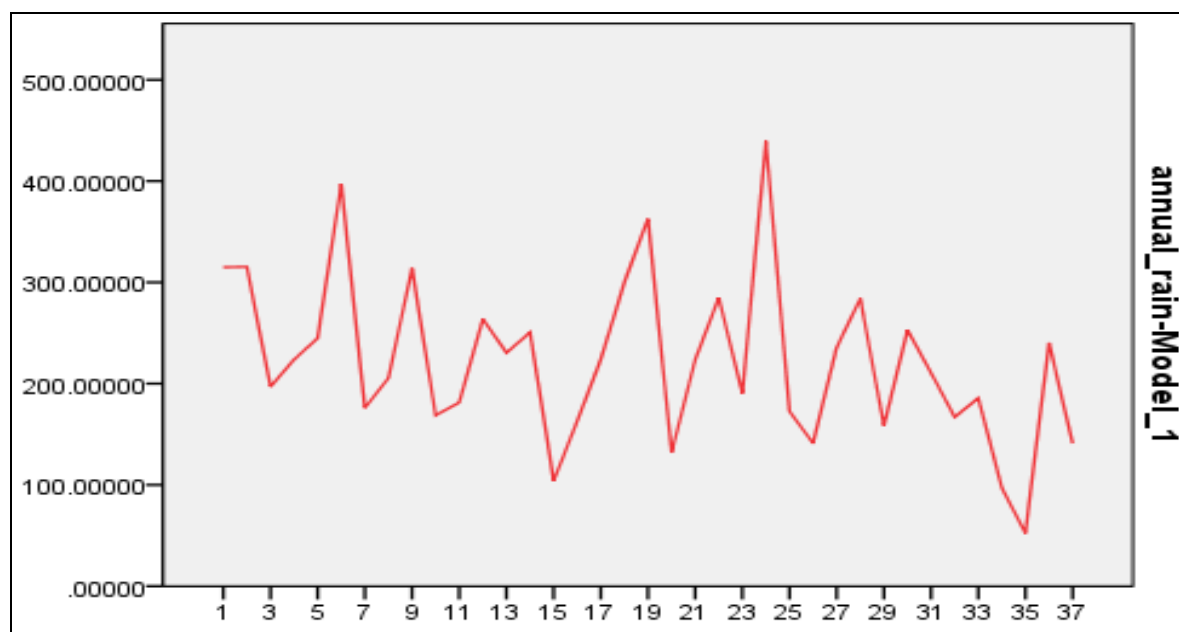
نمره شاخص $Z$	توصیف کیفی خشکسالی و ترسالی
$Z > 1.75$	ترسالی بسیار شدید
$1.25 < Z < 1.75$	ترسالی شدید
$0.75 < Z < 1.25$	ترسالی متوسط
$-0.25 < Z < 0.75$	ترسالی ضعیف
$-0.25 < Z < 0.25$	نرمال
$-0.75 < Z < -0.25$	خشکسالی ضعیف
$-1.25 < Z < -0.75$	خشکسالی متوسط
$-1.75 < Z < -1.25$	خشکسالی شدید
$Z < -1.75$	خشکسالی بسیار شدید



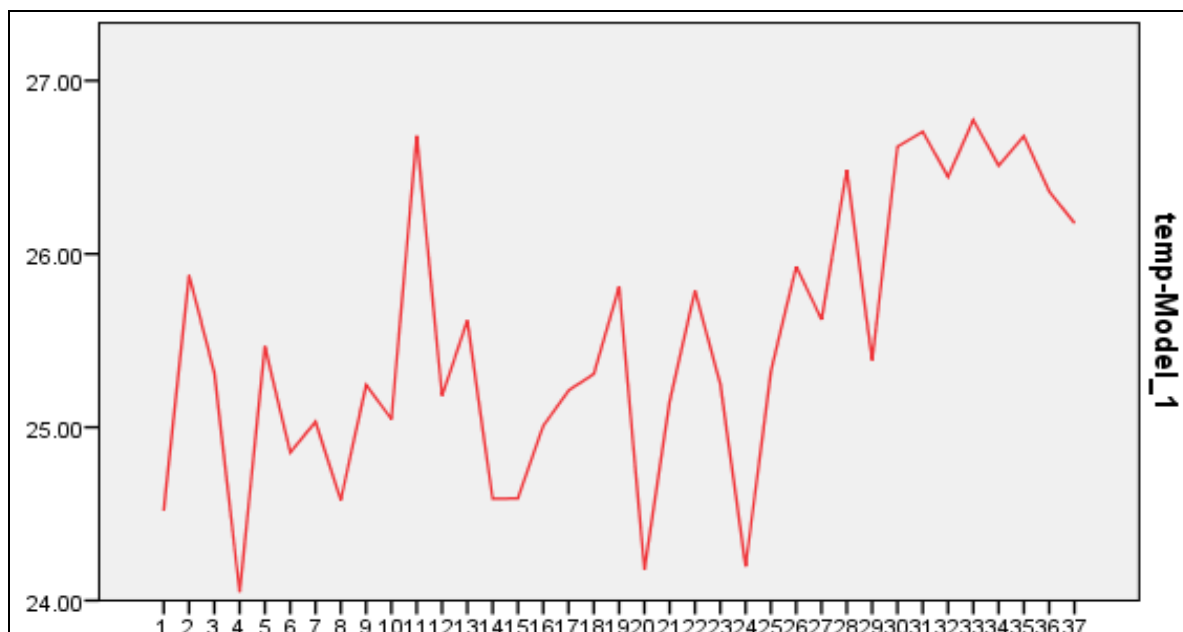


نمودار ۱- توزیع زمانی بارش و دمای ایستگاه اهواز

براساس نمودار (۱) داده های بارش و دمای ایستگاه اهواز در بستر زمان نایستا بوده که باید ایستا گردد. بنابراین با توجه با نایستایی داده ها از روش تفاضل گیری برای ایستایی آنها استفاده شد که نتیجه آن به صورت نمودارهای (۲) و (۳) می باشد.

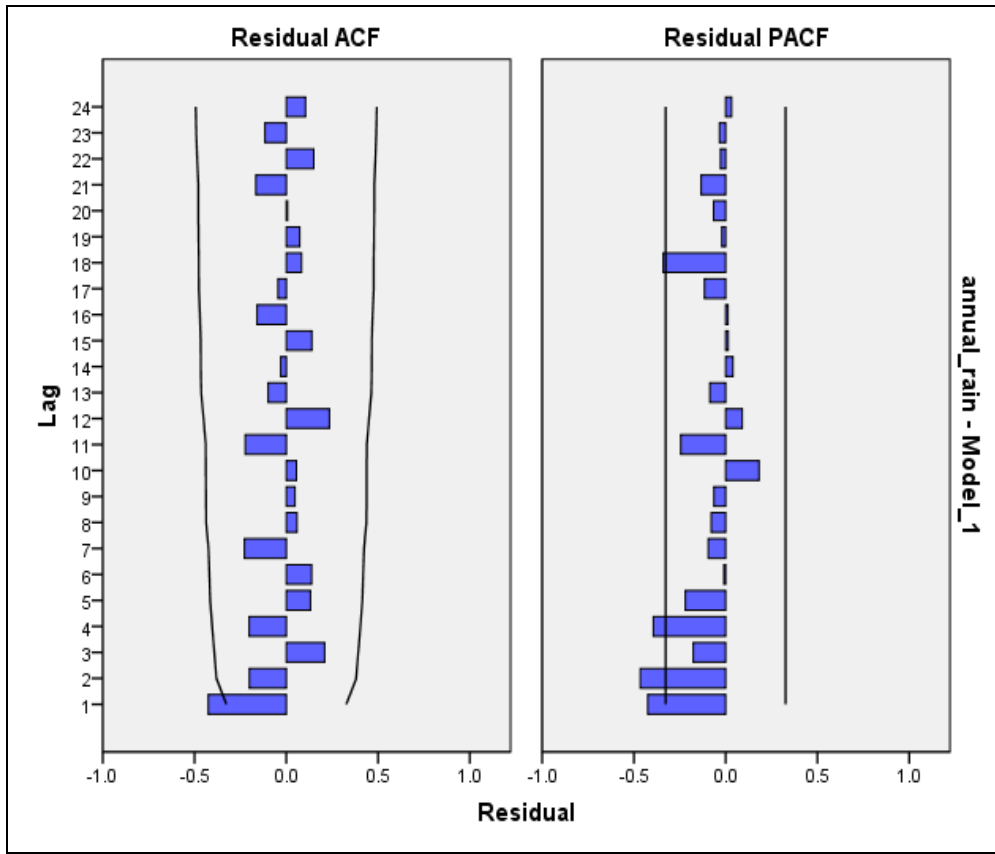


شکل ۲- پراکنش داده های تفاضل گیری شده بارش ایستگاه اهواز

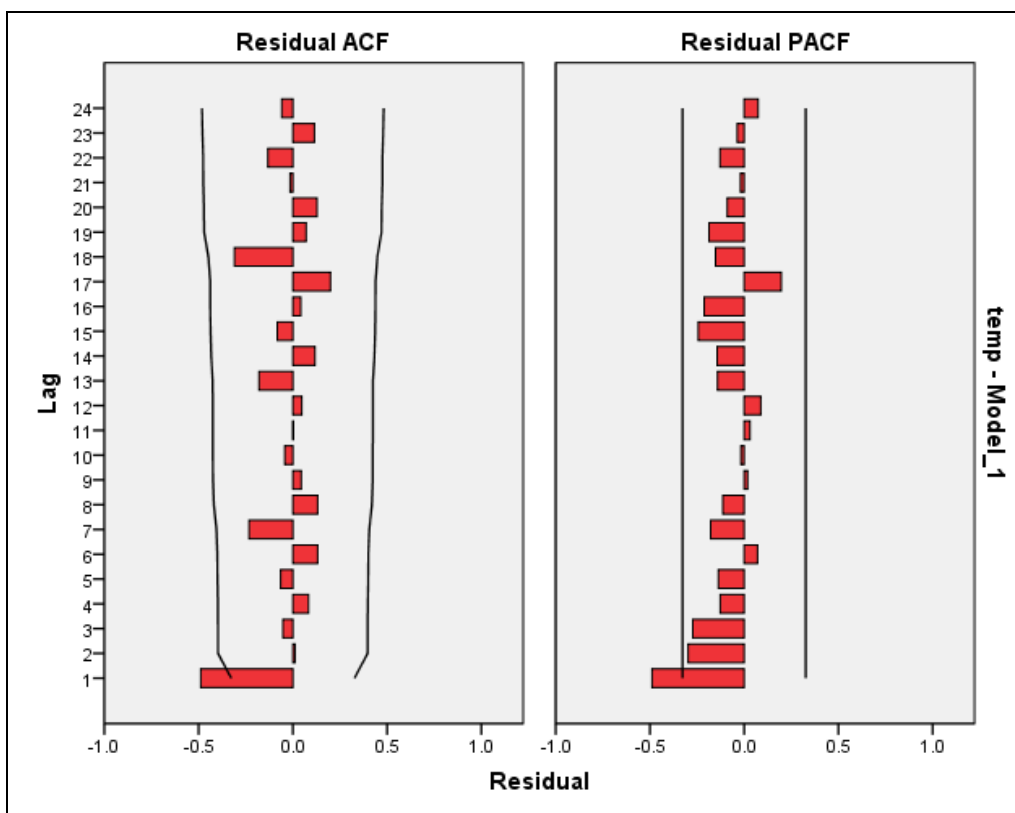


شکل ۳- پراکنش داده های تفاضل گیری شده متوسط دمای ایستگاه اهواز

با توجه به بی روند شدن داده ها به منظور تعیین رتبه مدل از نمودارهای ACF و PACF استفاده شد که به صورت نمودارهای (۴) و (۵) می باشد. نمودارهای زیر نمودار خود همبستگی درونی (ACF) داده ها با رتبه  $q$  را نشان می دهد در نمودار خود همبستگی درونی بارش یک مورد از داده های بارش و در نمودار خود همبستگی درونی متوسط دما یک مورد از داده های دما خارج از محدوده معنی داری ۹۵ درصد است. بنابراین نمودار خود همبستگی جزئی (PACF) داده های بارش و دما برای رتبه  $p$  ترسیم و شاخص BIC داده ها نیز تعریف گردید.



نمودار ۴- نمودارهای خود همبستگی درونی (ACF) و خود همبستگی جزئی (PACF) داده های بارش ایستگاه اهواز

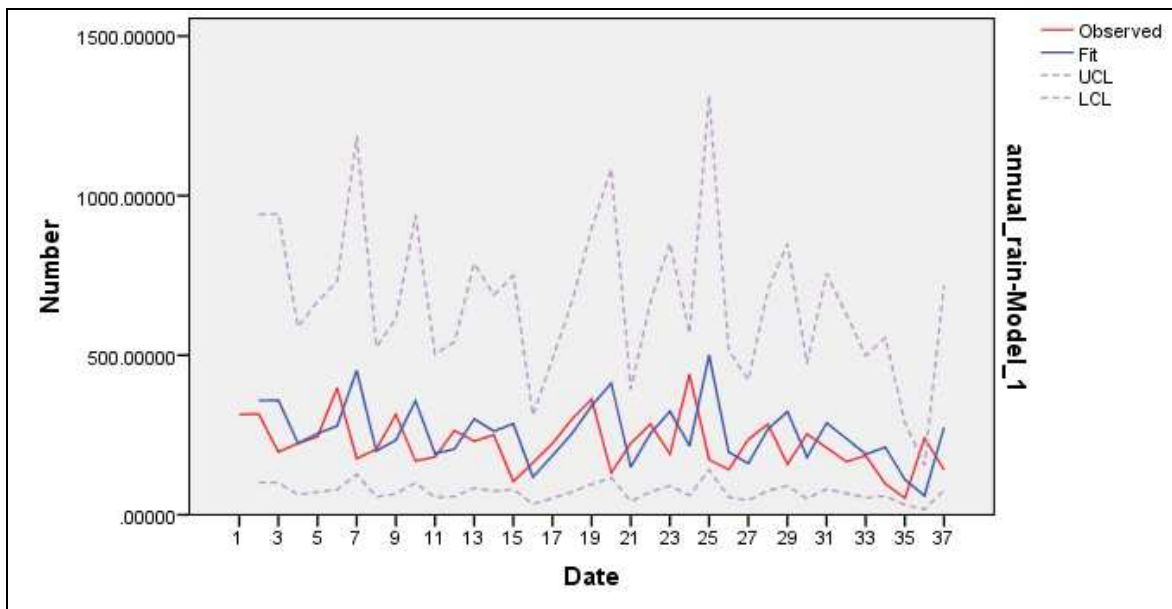


نمودار ۵- نمودارهای خود همبستگی درونی (ACF) و خود همبستگی جزئی (PACF) داده های متوسط دمای ایستگاه اهواز

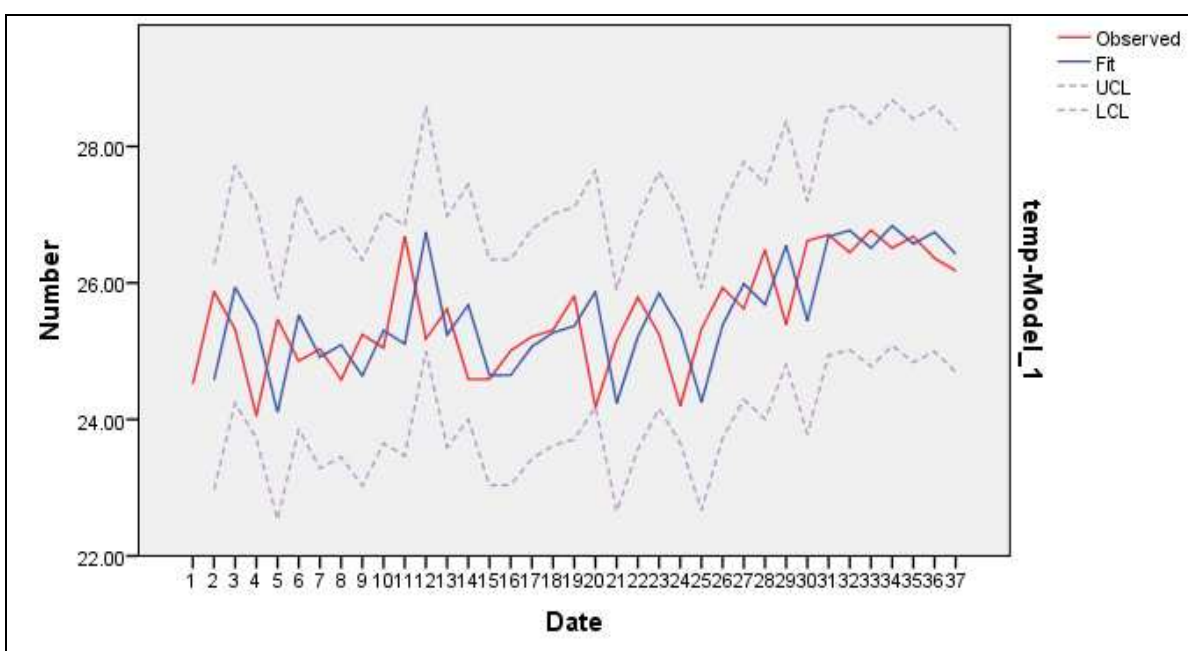
بنابراین با توجه به پارامترهای AIC و BIC مدل ARIMA (0,1,4) برای داده های بارش و مدل ARIMA (0,1,1) برای داده های دمای ایستگاه اهواز مناسب شناخته شد. در نتیجه ضرایب مدل سری زمانی داده های بارش و دمای ایستگاه اهواز به صورت جدول (۲) می باشد. همچنین رابطه بین مقدار مشاهده شده و مقدار پیش بینی شده این مولفه ها در ایستگاه اهواز براساس مدل های فوق به صورت نمودار (۶) و (۷) می باشد.

جدول ۲- ضرایب مدل سری زمانی داده های ایستگاه اهواز

پارامتر	مدل	ضریب تعیین ایستا	ضریب تعیین ایستگاه	RMSE	MAPE	MaxAPE	MAE	MaxAE	BIC نرمالیزه
بارش	ARIMA (0,1,4)	-۰.۲۸۳	-۰.۴۳۱	۹۹.۶۷۶	۴۲.۹۲	۱۷۱.۳۱۷	۷۸.۱۳۷	۲۲۵.۹۶۷	۹.۴۰۳
دما	ARIMA (0,1,1)	-۴.۱۲	-۰.۱۴۶	۰.۸۳۷	۲.۶۴	۷.۰۱۱	۰.۶۶۹	۱.۶۹۵	-۰.۲۵۷



نمودار ۶- رابطه بین مقدار مشاهده شده و مقدار پیش بینی شده بارش ایستگاه اهواز

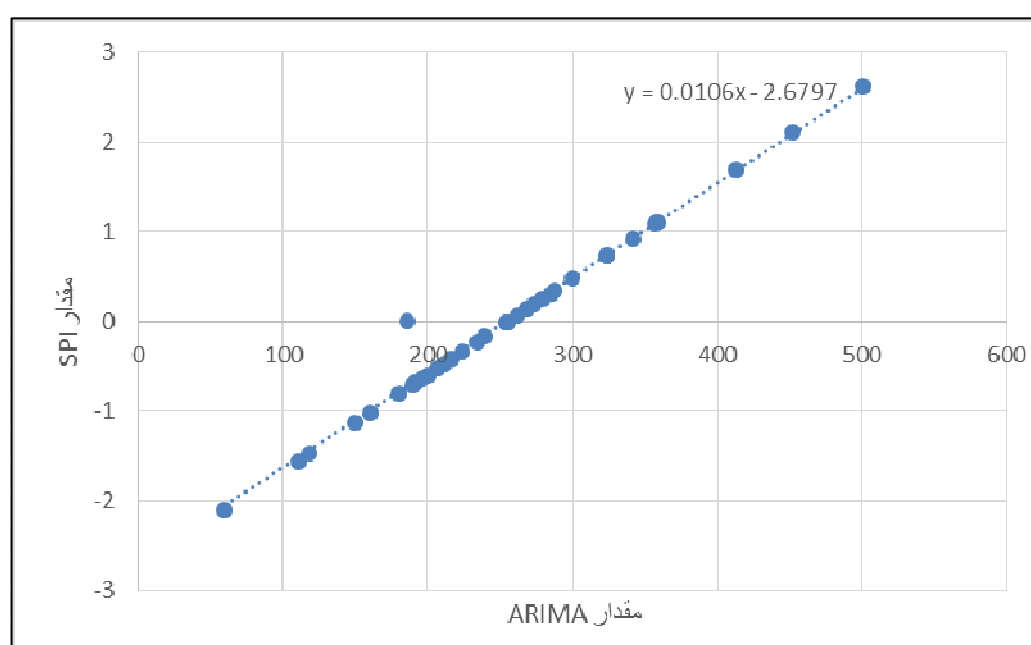


شکل ۷- رابطه بین مقدار مشاهده شده و مقدار پیش بینی شده دمای متوسط ایستگاه اهواز

جهت تعیین تاثیر تغییر اقلیم بر خشکسالی منطقه مبادرت به رابطه سنجی بین داده های حاصل از شاخص استاندارد Z و مقادیر پیش بینی شده سری زمانی آریما در ایستگاه اهواز گردید. نتایج حاصل از این رابطه سنجی به صورت جدول (۳) و نمودار (۸) می باشد.

جدول ۳- مقادیر مولفه های حاصل از ارتباط بین خشکسالی و تغییر اقلیم ایستگاه های نماینده در استان خوزستان

ایستگاه	رابطه	R	R <sup>2</sup>	Adjusted R <sup>2</sup>	STD error	sig
اهواز	خطی	۰.۹۹۲	۰.۹۸۵	۰.۹۸۴	۱۱.۷۸۷	۰...۰



نمودار ۸- ارتباط بین خشکسالی و تغییر اقلیم ایستگاه اهواز

از آنجایی که خشکسالی تابعی از مقدار بارش سالیانه یک منطقه می باشد، با افزایش مقدار بارش طی دوره های مذکور مقدار خشکسالی کاهش یافته و با کاهش بارش سالیانه، تداوم خشکسالی ها افزایش می یابد. به تبع این موضوع نیز بین سری زمانی پیش بینی شده داده های بارش با مقدار خشکسالی محاسبه شده با شاخص بارش استاندارد شده نیز یک رابطه خطی بسیار قوی وجود دارد. بطوريکه مقدار ضریب تبیین بالای روابط و همچنین مقدار برآورد استاندارد نیز حاکی از تایید این ادعا می باشد. در یک نتیجه گیری کلی می توان بیان نمود که با توجه به نتایج شاخص های سری زمانی آریما اقلیم منطقه به سوی یک آب و هوای گرم و خشک از امروزه تمایل دارد و از آنجایی که بین مقدار سری زمانی و مقدار



## تشکر و قدردانی

با تشکر از دانشگاه آزاد اسلامی واحد تهران مرکزی و سازمان آب و برق خوزستان واحد آب دفتر مطالعات پایه و منابع آب که در این زمینه مرا یاری کردند.

## فهرست منابع

- ۱- بدق جمالی، ج.جوانمرد، س. و شیر محمدی، ر.۱۳۸۱. پایش و پنهانه بنده وضعیت خشکسالی استان خراسان با استفاده از نمایه استاندارد شده بارش، فصلنامه تحقیقات جغرافیایی، شماره ۲۴-۶۷، ۴
  - ۲- علیزاده، امین، (۱۳۸۱). اصول هیدرولوژی کاربردی، چاپ ششم، انتشارات آستان قدس رضوی.
  - ۳- کارآموز، محمد، ۱۳۸۶، مدیریت جامع خشکسالی در حوزه های آبریز، دانشکده فنی مهندسی تهران.
  - ۴- فرج زاده، منوچهر ( ۱۳۷۴ ) ، تحلیل و پیش بینی خشکسالی در ایران، رساله دکترای اقلیم شناسی، دانشکده علوم انسانی، دانشگاه تربیت مدرس.
  - ۵-مساعدی،ابوالفضل.خلیلی زاده، مجتبی.استادکلایه،امین محمدی، ۱۳۸۷،پایش خشکسالی هواشناسی درسطح استان گلستان،مجله علوم کشاورزی و منابع طبیعی،جلد ۱۵،شماره ۲۰
  - ۶-مسعودیان، سید ابوالفضل، ۱۳۷۷، بررسی نظام تغییرات زمانی مکانی بارش در ایران، پایان نامه دوره دکتری، دانشگاه اصفهان
- ۷-Alijani, B. (2005). Analyses and Prediction of precipitation in Larestan region using Markov chain models. *The Iranian Journal of Research in Geography (Quarterly)*, 7 (2):11-34
- 8- Bakker, E.J. 1992. Rainfall and risk in India's agriculture. An ex-ante evalutaton of rainfall insurance. *Groningen Theses in Economics, Management and Organization*. Wolters-Noordhoff, Groningen.
- 9-Boogaard, H.L., Van Diepen, C.A., Rotter, R.P., Cabrera, J.M.C.A., and Van Laar, H.H. 1998. User's guide for the OFOST 7.1 crop